

1305 - 1090 West Georgia Street, Vancouver, BC, V6E 3V7 Telefon: +1 604 685 9316 / Fax: +1 604 683 1585

PRESSEMITTEILUNG

9. August 2022

Mawsons Tochterunternehmen SXG bohrt 42,0 m mit 4,8 g/t AuEq bei Sunday Creek, Victoria, Australien

Vancouver, Kanada - <u>Mawson Gold Limited</u> ("Mawson" oder das "Unternehmen") (TSX:MAW) (Frankfurt:MXR) (PINKSHEETS: MWSNF - https://www.commodity-tv.com/ondemand/companies/profil/mawson-gold-ltd/) berichtet, dass seine mehrheitlich im Besitz befindliche australische Tochtergesellschaft, <u>Southern Cross Gold Ltd</u> ("SXG"), weitere Ergebnisse von ihrem zu 100 % unternehmenseigenen Grundstück Sunday Creek in Victoria, Australien, gemeldet hat. Mawson besitzt 60 % von SXG nach dem kürzlich erfolgten Börsengang ("IPO") an der Australian Securities Exchange ("ASX").

Highlights für Mawson-Aktionäre:

- 2. und 4. bestes jemals in Sunday Creek gebohrte Löcher
 - Projektgebiet beherbergt nun fünfzehn Abschnitte mit mehr als 100 AuEq g/t * m
- Breite und kontinuierliche Zonen mit Gold-Antimon-Mineralisierung über 100 m in der Ebene des Apollo-Triebes um Bohrloch SDDSC033. Highlights,
 - 42,0 m @ 4,8 g/t AuEq aus 166,0 m in SDDSC039
 (3,5 g/t Au und 0,8 % Sb, 30 Meter unterhalb von SDDSC033)
 - 15,3 m @ 4,2 g/t AuEq aus 141,0 m in SDDSC038
 (2,8 g/t Au und 0,9 % Sb, 60 Meter über SDDSC033)
- Außergewöhnlich hochgradige Zonen mit teilweise reichlich sichtbarem Gold (Fotos 1-3).
 Highlights;
 - 1,0 m @ 23,7 g/t AuEq aus 197,6 m (19,8 g/t Au und 2,5% Sb, SDDSC039)
 - o **1,5 m @ 22,6 g/t AuEq aus 199,3 m** (14,9 g/t Au und 4,9 % Sb, SDDSC039)
 - o **0,7 m @ 105,7 g/t AuEq aus 202,0 m** (84,0 g/t Au und 13,8 %, Sb SDDSC039)
 - 0,8 m @ 21,3 g/t AuEq aus 98,5 m (0,3 g/t Au und 13,3 %, Sb SDDSC038)
 - 1,5 m @ 25,8 g/t AuEq aus 149,6 m (19,9 g/t Au und 3,7%, Sb SDDSC038)
- Zwei neue hochgradige Adern wurden 70 und 100 Meter weiter östlich in SDDSC038 durchschnitten.
- Mawsons 60-prozentige Beteiligung an SXG hat eine Marktkapitalisierung von ca. 45 Mio. C\$, basierend auf dem Schlusskurs von SXG am 9. August von 0,54 A\$ pro Aktie ein Anstieg von 270 % gegenüber dem IPO-Preis.
- Am Standort Sunday Creek sind nun zwei Bohrgeräte im Einsatz. Weitere fünf Bohrungen sind entweder im Gange oder müssen noch untersucht werden.

Ivan Fairhall, CEO von Mawson, erklärt: "Sunday Creek liefert weiterhin Ergebnisse für seine Aktionäre, von denen Mawson der größte ist. Diese Ergebnisse zeigen die Kontinuität der Mächtigkeit und des Gehalts im Apollo-Trieb um das frühere spektakuläre Ergebnis in SDSC0033.

Mawsons Vermögensbasis ist so stark wie nie zuvor, mit seinem 1moz AuEq Rajapalot-Projekt vor der PEA-Phase und einem bedeutenden Explorationspotenzial in Finnland, einer brandneuen Entdeckung in Schweden und einer Mehrheitsbeteiligung an SXG, die einen beträchtlichen Marktwert hat, wie die Notierung an der ASX zeigt.

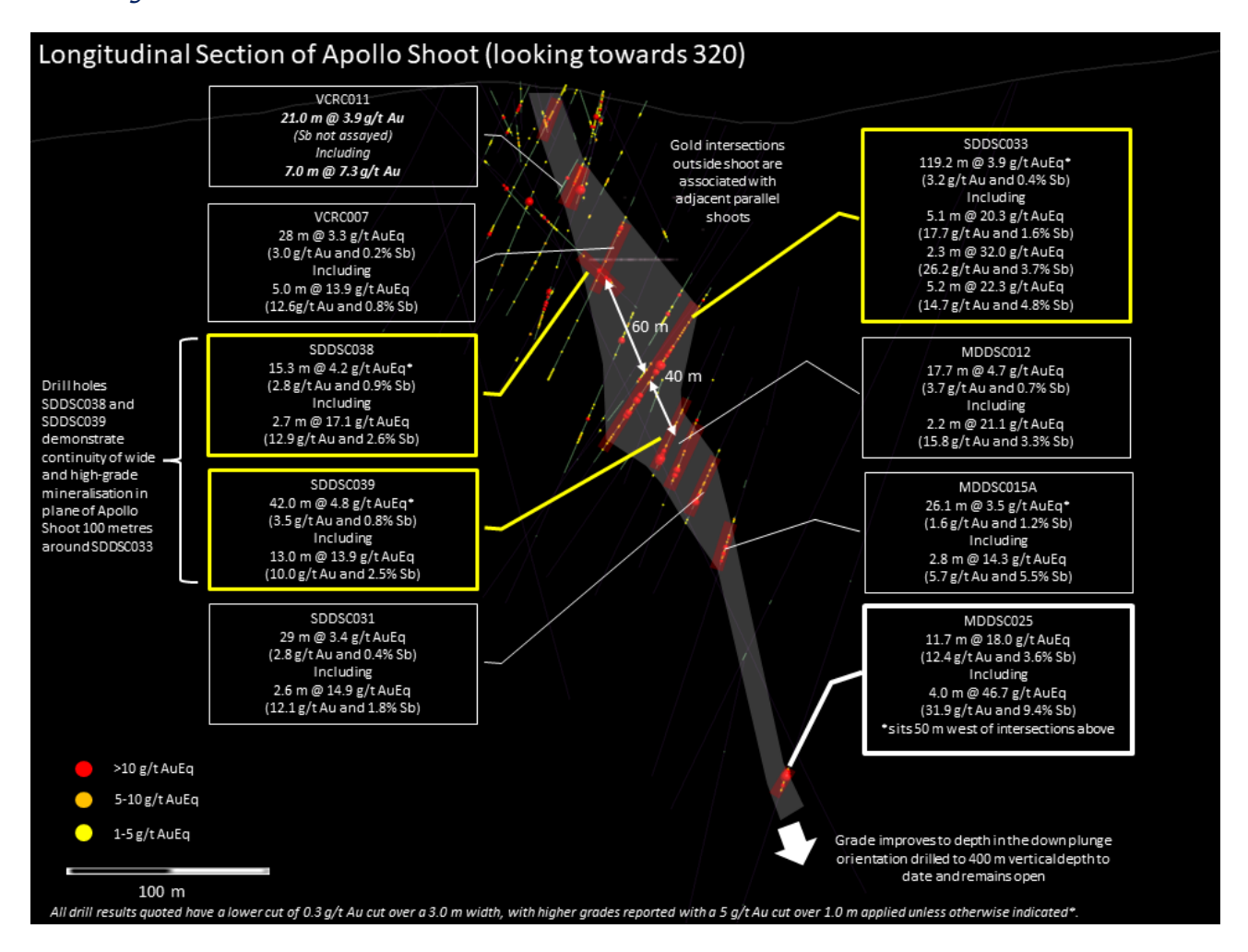


Abbildung 1: Sunday Creek-Längsschnitt entlang des Apollo-Ausläufers mit Blick in Richtung 320 Grad, der die hier gemeldeten Bohrlöcher (SDDSC038-39) und die Kontinuität der breiten und hochgradigen Mineralisierung um Bohrloch SDDSC033 und bis 335 Meter vertikal unter der Oberfläche (MDDSC025) zeigt.

Ergebnisse Diskussion

Mit 13.500 Metern, die bei Sunday Creek in weniger als zwei Jahren gebohrt wurden, verfügt das Projekt nun über fünfzehn (15) Bohrlöcher mit einem kumulativen Gehalt von mehr als 100 Metern ("AuEq g/t x m"), die durchteuft wurden. Die beiden neuen Bohrlöcher (SDDSC038-39) bilden nach SDDSC033 die 2. und 4. besten Bohrlöcher, die bis dato bei Sunday Creek gebohrt wurden, basierend auf AuEq g/t x m. Das 3. beste Bohrloch (MDDSC025 11,7 m @ 18,0 g/t AuEq) liegt 200 m unterhalb von SDDSC033 und zeigt die Größe des sich entwickelnden Systems. Die Mineralisierung ist in der Tiefe und entlang des Streichs weiterhin offen.

Ein 10 km langer mineralisierter Trend, der sich über das Bohrgebiet hinaus erstreckt, wurde durch historische Arbeiten und Bodenproben bei Sunday Creek definiert, wo bisher noch keine Explorationsbohrungen durchgeführt wurden, und bietet ein potenzielles zukünftiges Potenzial.

Das Epizonen-Goldprojekt Sunday Creek befindet sich 60 km nördlich von Melbourne (Abbildung 2) und umfasst 19.365 Hektar an genehmigten Explorationsgrundstücken. SXG ist auch der Grundbesitzer von 132,64 Hektar, die den wichtigsten Teil in und um das gebohrte Gebiet auf dem Projekt Sunday Creek bilden. Geologisch gesehen befindet sich das Projekt innerhalb der strukturellen Zone Melbourne im Lachlan Fold Belt. Das regionale Wirtgestein der Mineralisierung bei Sunday Creek ist eine zwischengelagerte Turbiditsequenz aus Siltsteinen und kleineren Sandsteinen, die zu einer subgrünschieferartigen Fazies metamorphisiert und zu einer Reihe offener, nach Nordwesten verlaufender Falten gefaltet ist. Die Mineralisierung bei Sunday Creek wird durch Adern, Stibnit-Gold-Matrix-Brekzien und spröde Verwerfungen kontrolliert. Das unmittelbare Wirtsgestein für die Mineralisierung ist eine Zone mit stark veränderten weißen Glimmer-Pyrit-Schluffsteinen und weißem Glimmer-Pyrit-Karbonat-veränderten Gesteinsschichten.

Wie für epizonale Lagerstätten wie Fosterville und Costerfield typisch, ist das (manchmal sichtbare (Fotos 1 - 3)) Gold bei Sunday Creek in Quarz- und Karbonatadern enthalten, mit einem späteren intensiven stibnithaltigen Ader- und Brekzienüberdruck. Eine größere Arsenanomalie steht in Zusammenhang mit der Goldmineralisierung, die größtenteils aus Arsenpyrit besteht, sich jedoch zu arsenpyrithaltigen Zonen entwickelt, die in einer klaren räumlichen Beziehung zu hochgradigem Gold stehen.

Die mineralisierten Ausläufer bei Sunday Creek bilden sich am Schnittpunkt der subvertikalen bis flacher einfallenden, um 330 Grad streichenden mineralisierten Adern und einer steilen, in Ost-West-Richtung verlaufenden, nach Norden einfallenden Struktur, die von dioritischen Erzgängen und damit in Zusammenhang stehenden Intrusionsbrekzien gebildet wird. Die Dimensionen der einzelnen Triebe werden durch weitere Bohrungen aufgedeckt werden, aber typischerweise:

- In der abwärts gerichteten Ausrichtung (80 Grad in Richtung des 020-Grad-Trends) sind die Ausläufer ausgedehnt und wurden über 400 m in die Tiefe gebohrt und bleiben in der Tiefe offen, wobei sich die Gehalte verbessern (z. B. MDDSC025 11,7 m @ 18,0 g/t AuEq (12,4 g/t Au und 3,6 % Sb) einschließlich 4,0 m @ 46,7 g/t AuEq (31,9 g/t Au und 9,4 % Sb)).
- Das sichtbare Gold in anderen epizonalen Lagerstätten (z. B. Fosterville und Costerfield) wird in einer Tiefe von weniger als 800 m immer bedeutender, was höchstwahrscheinlich auf die unterschiedlichen Bildungstemperaturen der Au-Sb- und der Au-dominanten Mineralisierung zurückzuführen ist.
- sind in der Regel 20 m bis 30 m breit in der Aufwärts-/Abwärtsrichtung, können aber auch breiter sein (z. B. um SDDSC033), und;
- Weitere Bohrungen sind erforderlich, um die durchschnittliche Mächtigkeit zu ermitteln, aber die bisherigen Bohrungen deuten auf eine Mächtigkeit von 20 bis 30 m hin.

SDDSC038 identifizierte auch zwei neue Adern, die 70 m und 100 m weiter östlich gebohrt wurden als die bisherigen Bohrungen. Ader 1' durchschnitt 1,0 m @ 11,5 g/t AuEq (7,5 g/t Au und 2,5 % Sb) auf 235,0 m und 0,2 m @ 10,0 g/t AuEq (8,2 g/t Au und 1,2 % Sb) auf 238,0 m. Ader 2' durchschnitt 0,6 m @ 28,3 g/t AuEq (0,9 g/t Au und 17,4 % Sb) auf 306,3 m.

Die Abbildungen 1 bis 4 zeigen die Lage des Projekts sowie Grundriss-, Längs- und Querschnittsansichten der hier berichteten Bohrergebnisse; die Tabellen 1 bis 3 enthalten Halsband- und Analysedaten. Die tatsächliche Mächtigkeit des mineralisierten Abschnitts wird auf etwa 60-70 % der beprobten Mächtigkeit geschätzt. Die angegebenen Bohrergebnisse weisen einen unteren Schnitt von 0,3 g/t Au auf einer Breite von 3,0 m auf, wobei höhere Gehalte mit einem Schnitt von 5 g/t Au auf 1,0 m gemeldet werden, sofern nicht anders angegeben*, wobei 0,1 g/t Au auf 7,0 m für einen breiteren Schnitt durch die Länge der mineralisierten Struktur verwendet wurde).

Weitere Informationen sind in der <u>Pressemitteilung</u> von Southern Cross vom 9. August und auf der Website <u>www.southerncrossgold.com.au</u> zu finden.

Technischer Hintergrund und qualifizierte Person

Die Umrechnung der A\$-Werte in C\$ erfolgte zu einem Wechselkurs von 1,11.

Die qualifizierte Person, Michael Hudson, Executive Chairman und Director von Mawson Gold sowie Fellow des Australasian Institute of Mining and Metallurgy, hat den technischen Inhalt dieser Pressemitteilung geprüft, verifiziert und genehmigt.

Die Analyseproben werden zur Einrichtung von On Site Laboratory Services ("On Site") in Bendigo transportiert, die sowohl nach ISO 9001 als auch nach dem NATA-Qualitätssystem arbeitet. Die Proben wurden aufbereitet und mit Hilfe der

Brandprobe (PE01S-Methode; 25-Gramm-Charge) auf Gold analysiert, gefolgt von der Messung des Goldes in Lösung mit einem Flammen-AAS-Gerät. Die Proben für die Multi-Element-Analyse (BM011 und Over-Range-Methoden nach Bedarf) werden mit Königswasser aufgeschlossen und mit ICP-MS analysiert. Das QA/QC-Programm von Southern Cross Gold besteht aus dem systematischen Einsetzen von zertifizierten Standards mit bekanntem Goldgehalt, Leerproben innerhalb des interpretierten mineralisierten Gesteins und Viertelkernduplikaten. Darüber hinaus werden vor Ort Leerproben und Standards in den Analyseprozess eingefügt.

Das Goldäquivalent "AuEq" für Sunday Creek ist = $Au (g/t) + 1,58 \times Sb$ (%) auf der Grundlage von angenommenen Goldpreisen von 1.700 US\$/Unze Au und Antimonpreisen von 8.500 US\$/Metalltonne sowie Gesamtjahresmetallgewinnungsraten von 93 % für Gold und 95 % für Antimon. In Anbetracht der geologischen Ähnlichkeiten der Projekte wurde diese Formel zur Angleichung an den technischen Bericht der an der TSX notierten Mandalay Resources Ltd. vom 25. März 2022 über ihr Costerfield-Projekt verwendet, das 54 km von Sunday Creek entfernt liegt und in der Vergangenheit Mineralisierungen des Grundstücks verarbeitet hat.

Goldäquivalent "AuEq" für Rajapalot = Au+(Co/1005) basierend auf angenommenen Kobaltpreisen von US\$ 23,07/lb und Goldpreisen von US\$ 1.590/oz. Einzelheiten zu den abgeleiteten Mineralressourcen von Mawson können in der Pressemitteilung des Unternehmens vom 26. August 2021 nachgelesen werden.

Über Mawson Gold Limited (TSX:MAW, FRANKFURT:MXR, OTCPINK:MWSNF)

Mawson Gold Limited ist ein Explorations- und Erschließungsunternehmen, dessen Vorzeige-Gold-Kobalt-Projekt Rajapalot in Finnland nun in die Phase der technischen Studien eintritt, um das Risiko der abgeleiteten Ressourcen und des Explorationsprogramms zu verringern. Neben den laufenden Explorationen auf Rajapalot besitzt Mawson eine Option auf eine Beteiligung von bis zu 85 % am Goldprojekt Skelleftea in Schweden. Mawson besitzt auch eine bedeutende Mehrheitsbeteiligung an drei hochgradigen, historischen, epizonalen Goldfeldern mit einer Fläche von 470 km² in Victoria, Australien, durch Southern Cross Gold Ltd. ("Southern Cross"), dessen Aktien erfolgreich an der ASX notiert sind. Mawson hält derzeit eine Beteiligung von 60,3 % an Southern Cross. Die Anteile von Mawson an Southern Cross sind bis zum 16. Mai 2024 hinterlegt.

Über Southern Cross Gold Ltd (ASX:SXG)

Southern Cross Gold besitzt das zu 100 % im Besitz befindliche Sunday Creek Projekt in Victoria und das Mt Isa Projekt in Queensland, die Redcastle und Whroo Joint Ventures in Victoria, Australien, sowie eine strategische 10 %ige Beteiligung an der an der ASX notierten Nagambie Resources Limited (ASX:NAG), die Southern Cross ein Vorkaufsrecht auf ein 3.300 Quadratkilometer großes Grundstückspaket im Besitz von NAG in Victoria gewährt.

Im Namen des Verwaltungsrats,

Weitere Informationen www.mawsongold.com

1305 - 1090 West Georgia St., Vancouver, BC, V6E 3V7 Mariana Bermudez (Kanada), Unternehmenssekretärin +1 (604) 685 9316 info@mawsongold.com

"Ivan Fairhall"

Ivan Fairhall, CEO

In Europa: Swiss Resource Capital AG Jochen Staiger info@resource-capital.ch www.resource-capital.ch

Zukunftsgerichtete Aussage

Diese Pressemitteilung enthält zukunftsgerichtete Aussagen oder zukunftsgerichtete Informationen im Sinne der geltenden Wertpapiergesetze (zusammenfassend als "zukunftsgerichtete Aussagen" bezeichnet). Alle hierin enthaltenen Aussagen, mit Ausnahme von Aussagen über historische Fakten, sind zukunftsgerichtete Aussagen. Obwohl Mawson der Ansicht ist, dass solche Aussagen angemessen sind, kann Mawson keine Garantie dafür geben, dass sich diese Erwartungen als richtig erweisen werden. Zukunftsgerichtete Aussagen sind in der Regel durch Wörter wie glauben, erwarten, vorhersehen, beabsichtigen, schätzen, postulieren und ähnliche Ausdrücke gekennzeichnet oder beziehen sich auf zukünftige Ereignisse. Mawson weist Investoren darauf hin, dass zukunftsgerichtete Aussagen keine Garantie für zukünftige Ergebnisse oder Leistungen sind und dass die tatsächlichen Ergebnisse aufgrund verschiedener Faktoren erheblich von jenen abweichen können, die in zukunftsgerichteten Aussagen enthalten sind, einschließlich der Erwartungen von Mawson hinsichtlich seiner Beteiligung an Southern Cross Gold, Kapital- und andere Kosten, die erheblich von den Schätzungen abweichen, Veränderungen auf den Weltmetallmärkten, Veränderungen auf den Aktienmärkten, die potenziellen Auswirkungen von Epidemien, Pandemien oder anderen Krisen des öffentlichen Gesundheitswesens, einschließlich der aktuellen Pandemie, die als COVID-

19 bekannt ist, auf das Geschäft des Unternehmens, Risiken im Zusammenhang mit negativer Publicity in Bezug auf das Unternehmen oder die Bergbauindustrie im Allgemeinen; Explorationspotenzial, das konzeptioneller Natur ist, unzureichende Exploration zur Definition einer Mineralressource auf den australischen Projekten, die sich im Besitz von SXG befinden, und die Ungewissheit, ob weitere Explorationen zur Bestimmung einer Mineralressource führen werden; geplante Bohrprogramme und -ergebnisse, die von den Erwartungen abweichen, Verzögerungen bei der Erzielung von Ergebnissen, Ausrüstungsausfälle, unerwartete geologische Bedingungen, Beziehungen zu den lokalen Gemeinden, Umgang mit Nichtregierungsorganisationen, Verzögerungen beim Betrieb aufgrund von Genehmigungen, Umwelt- und Sicherheitsrisiken sowie andere Risiken und Ungewissheiten, die unter der Überschrift "Risikofaktoren" in Mawsons jüngstem Jahresinformationsblatt auf www.sedar.com. Jede zukunftsgerichtete Aussage bezieht sich nur auf das Datum, an dem sie gemacht wird, und Mawson lehnt jede Absicht oder Verpflichtung ab, zukunftsgerichtete Aussagen zu aktualisieren, sei es aufgrund neuer Informationen, zukünftiger Ereignisse oder Ergebnisse oder aus anderen Gründen, es sei denn, dies wird von den geltenden Wertpapiergesetzen verlangt.

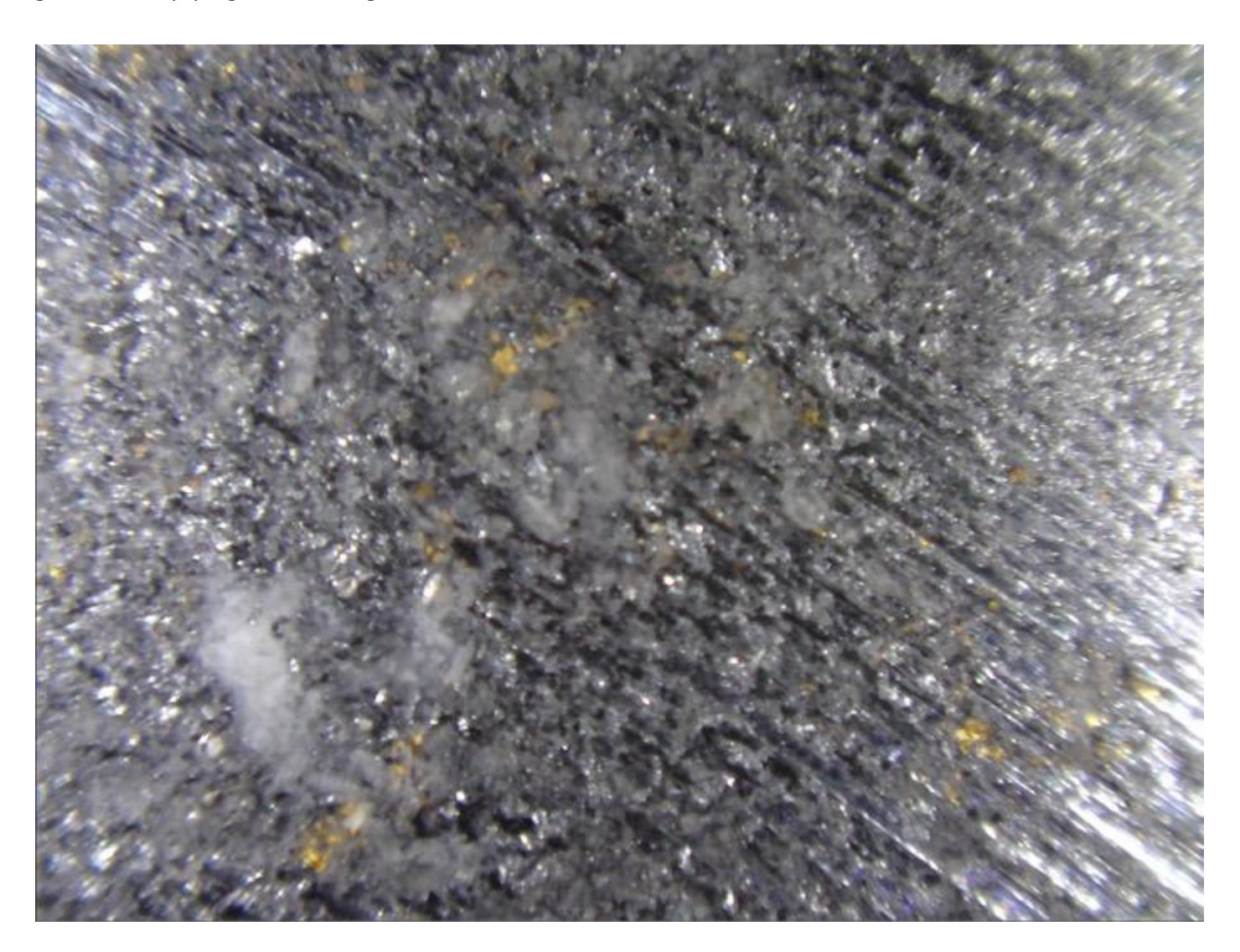


Foto 1: SDDSC039 auf 202,4 Metern zeigt reichlich sichtbares Gold in Quarz-Karbonat- und Stibnit-Matrix. Die Ergebnisse von zwei Viertelkernproben aus diesem Abschnitt ergaben 112 g/t Au mit einer Laborwiederholung von 130 g/t Au und 14,4 % Sb (Probe 61014702) und 47 g/t Au und 13,1 % Sb (Probe 61014701) für einen Durchschnitt von 0,7 m @ 105,7 g/t AuEq (84,0 g/t Au und 13,8 % Sb) aus 202,0 m. Sichtfeld 12 mm.



Foto 2: SDDSC039 @ 202,7 m Stibnit-Weißglimmer-alterierte Sedimentbrekzienzone mit Ferroan-Dolomit und Quarzadern mit Stibnit und sichtbarem Gold. Die Ergebnisse von zwei Viertelkernproben aus diesem Abschnitt ergaben 112 g/t Au mit einer Laborwiederholung von 130 g/t Au und 14,4 % Sb (Probe 61014702) und 47 g/t Au und 13,1 % Sb (Probe 61014701) für einen Durchschnitt von 0,7 m @ 105,7 g/t AuEq (84,0 g/t Au und 13,8 % Sb) aus 202,0 m. Das Sichtfeld des oberen Bildes beträgt 20 mm.



Foto 3: SDDSC039 @ 203,7 m: Ferroanischer Dolomit und Quarz mit Stibnit und sichtbarem Gold. Ein Abschnitt von durchschnittlich 0,5 m mit 82,6 g/t AuEq (42,9 g/t Au und 25,1 % Sb) auf 203,7 m. Das Sichtfeld des oberen Bildes beträgt 15 mm.

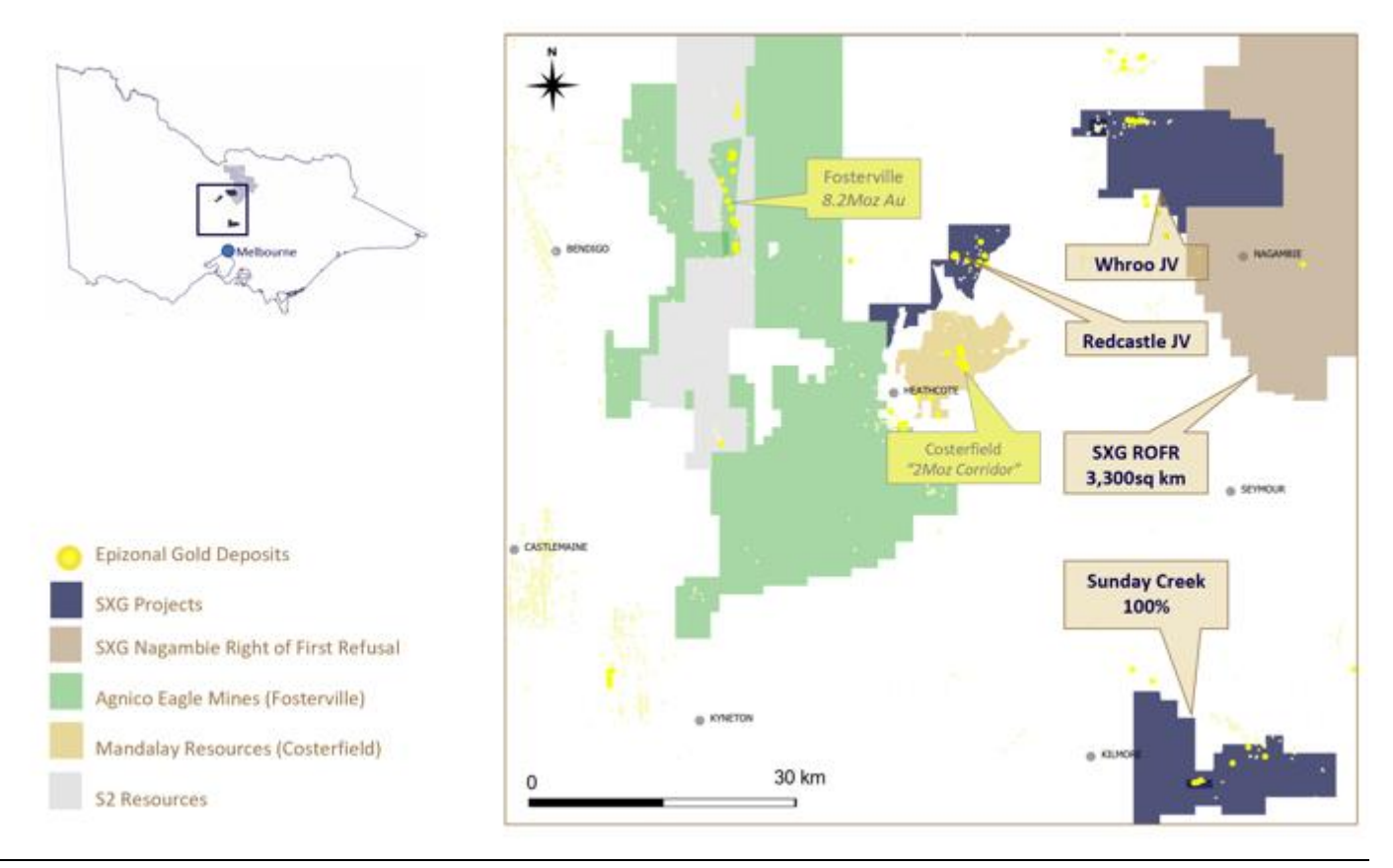


Abbildung 2: Standort des Projekts Sunday Creek zusammen mit den anderen Projekten von SXG in Victoria.

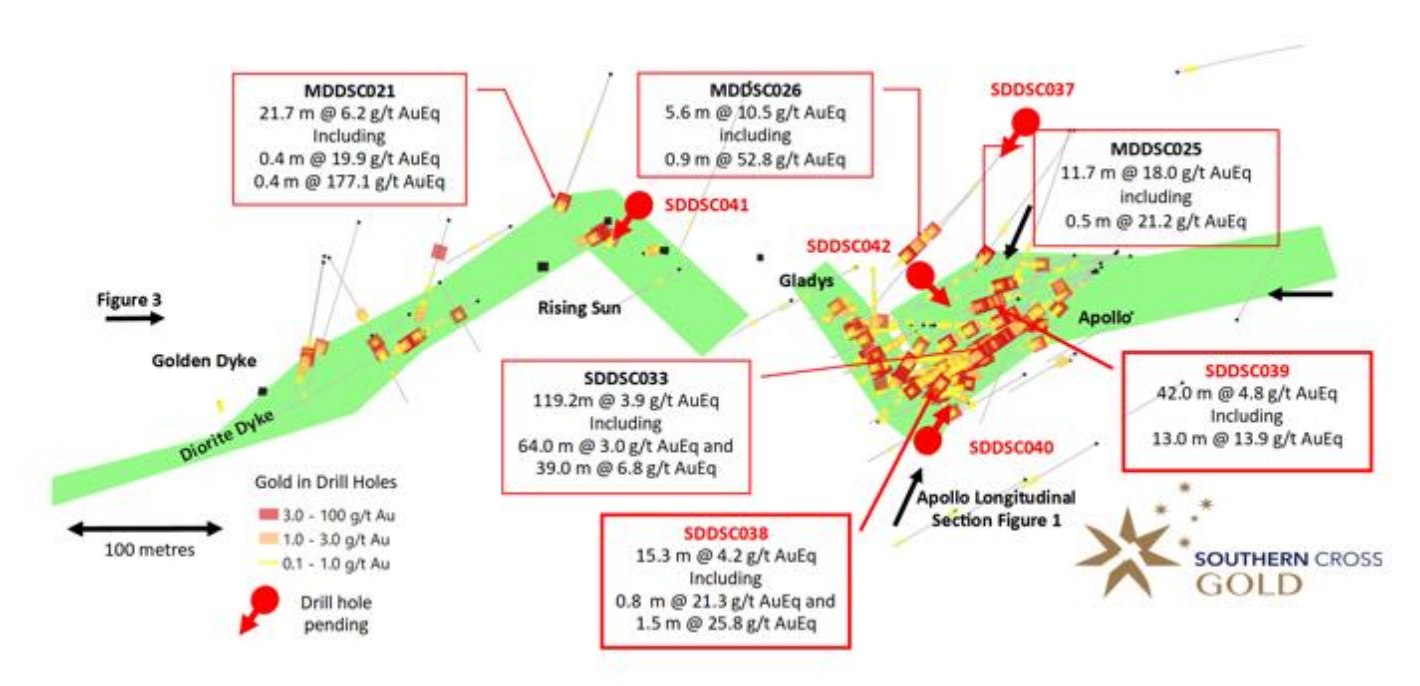


Abbildung 3: Planansicht von Sunday Creek mit den Standorten der Bohrlöcher für die in dieser Meldung gemeldeten Ergebnisse und die noch ausstehenden Bohrlöcher.

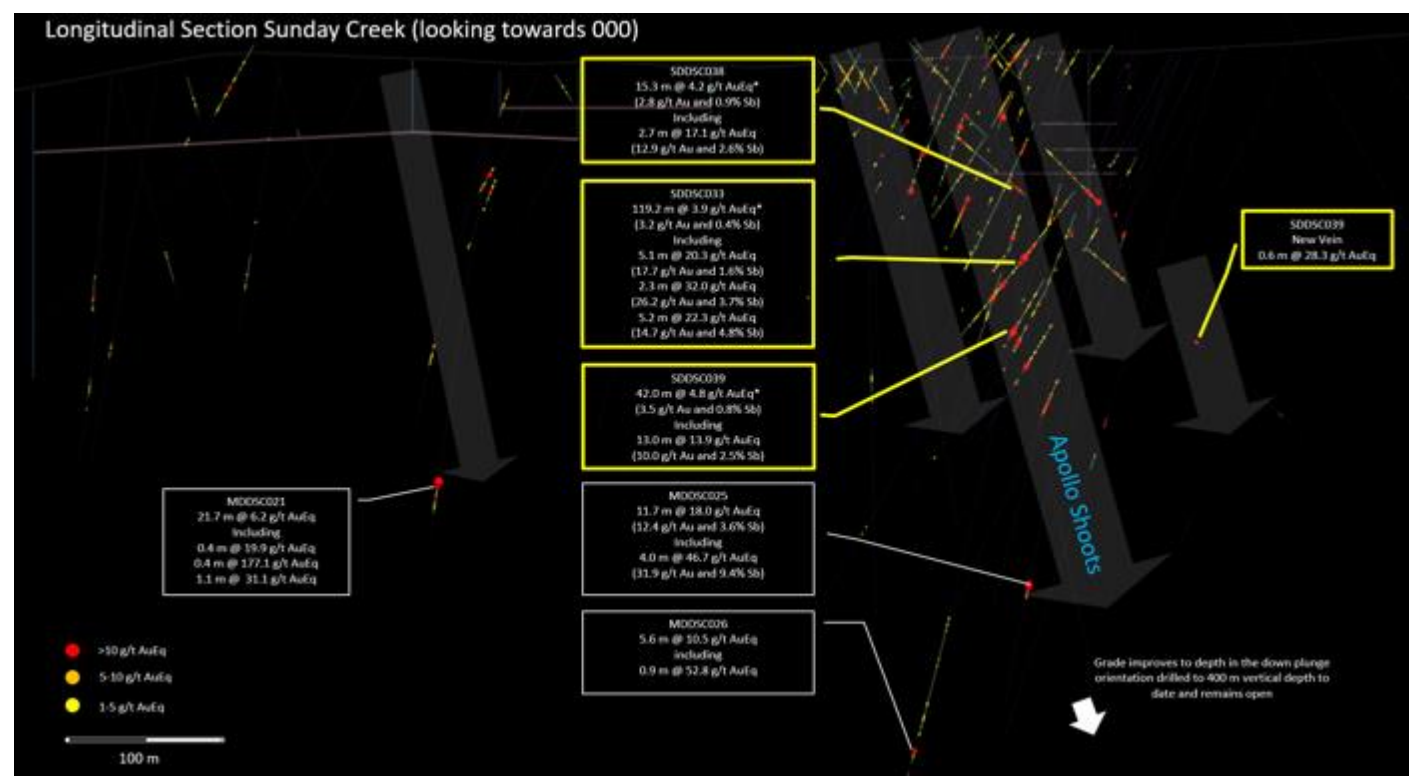


Abbildung 4: Längsschnitt von Sunday Creek in Ost-West-Richtung entlang des Deichs bzw. der Struktur mit den einzelnen bisher definierten Schächten. Breite Pfeile zeigen indikative mineralisierte Ausläufer an.

. Tabelle 1: Zusammenfassende Tabelle der Bohrkränze für die in dieser Meldung gemeldeten Bohrlöcher.

Bohrung_ID	Größe des Lochs	Tiefe (m)	Aussicht	Ost	Norden	Erhebungen	Azimut	Eintauchen
		(,		GDA94_Z55	GDA94_Z55			
SDDSC033	HQ	246.1	Apollo	331171	5867843.7	306	245.1	-51.4
SDDSC034	HQ	165.3	Apollo	331089	5867789	313.41	221.2	-63.1
SDDSC035	HQ	281.9	Apollo	331124	5867845	303.86	210.0	-60.0
SDDSC036	HQ	290	Apollo	331154	5867856	305.3	238.2	-50.1
SDDSC037	HQ	420	Gladys	331111.8	5867975.3	319.3	216.1	-60.1
SDDSC038	HQ	401.9	Apollo	330965.3	5867725.3	314.5	63.9	-37.2
SDDSC039	HQ	323	Apollo	331172	5867842	306.3	249.0	-57.0
SDDSC040	HQ	400	Apollo	331049.7	5867715	323.6	16.2	-62.9
SDDSC041	HQ	165	Aufgehende Sonne	330778	5867898	294.2	221.0	-67.0
SDDSC042	HQ	300	Apollo	331018.7	5867841.6	300.0	138.8	-61.1

Tabelle 2: Tabellen der in dieser Pressemitteilung gemeldeten mineralisierten Bohrlochabschnitte unter Anwendung von drei Abschnittskriterien

5,0 g/t AuEq Cutoff über maximal 1 m

Bohrung_ID	Von (m)	Nach (m)	Breite (m)	Au g/t	Sb %	AuEq g/t
SDDSC038	98.5	99.3	0.8	0.25	13.30	21.26
SDDSC038	101.7	103	1.3	0.05	5.42	8.62
SDDSC038	142.4	142.7	0.3	3.56	15.50	28.05
SDDSC038	148	148.3	0.3	11.40	4.00	17.72
SDDSC038	149.6	152.3	2.7	12.92	2.63	17.08
SDDSC038	195.8	197.2	1.4	12.47	0.20	12.78
SDDSC038	217.8	218.4	0.6	1.72	2.96	6.39
SDDSC038	235	236.9	1.9	5.06	2.30	8.69

SDDSC038	238	238.2	0.2	8.22	1.15	10.03
SDDSC038	240.6	240.9	0.3	2.99	1.76	5.77
SDDSC038	306.3	306.9	0.6	0.85	17.40	28.34
SDDSC039	78.9	79.3	0.4	1.37	3.75	7.30
SDDSC039	194.8	195.1	0.3	2.20	3.04	7.00
SDDSC039	197.6	200.75	3.15	13.11	3.00	17.85
SDDSC039	202	203.85	1.85	43.23	11.39	61.23

0,3 g/t unterer Cutoff-Wert über maximal 2 m

Bohrung_ID	Von (m)	Nach (m)	Breite (m)	Au g/t	Sb %.	AuEq g/t
SDDSC038	17	18	1	0.65	0.00	0.65
SDDSC038	24	25.6	1.6	1.35	0.00	1.35
SDDSC038	51.8	53.9	2.1	1.66	0.24	2.03
SDDSC038	92	109.6	17.6	0.89	1.15	2.71
SDDSC038	113.9	117.4	3.5	0.54	0.02	0.57
SDDSC038	120.7	124	3.3	0.38	0.01	0.40
SDDSC038	130	131	1	2.30	0.01	2.32
SDDSC038	141	152.8	11.8	3.58	1.19	5.46
SDDSC038	171.6	172.5	0.9	0.96	0.00	0.97
SDDSC038	195.8	197.2	1.4	12.47	0.20	12.78
SDDSC038	209.2	212.7	3.5	0.37	0.09	0.51
SDDSC038	215.8	218.4	2.6	0.95	0.73	2.10
SDDSC038	221	222.6	1.6	0.52	0.18	0.81
SDDSC038	224.6	230	5.4	0.74	0.07	0.85
SDDSC038	234	243.5	9.5	1.89	0.73	3.05
SDDSC038	287	288	1	0.30	0.01	0.31
SDDSC038	294.7	295.1	0.4	0.27	0.05	0.34
SDDSC038	305.5	307.8	2.3	0.28	5.10	8.33
SDDSC038	380	382	2	0.67	0.07	0.77
SDDSC039	72.6	73.6	1	0.39	0.06	0.48
SDDSC039	78.9	83	4.1	0.39	0.46	1.12
SDDSC039	101.4	101.8	0.4	0.57	0.00	0.57
SDDSC039	166	166.8	0.8	0.34	0.01	0.36
SDDSC039	169.6	187	17.4	0.96	0.09	1.09
SDDSC039	194	207	13	10.00	2.48	13.92
SDDSC039	212	212.4	0.4	2.64	0.19	2.94
SDDSC039	296	296.8	0.8	0.11	2.88	4.66

0,1 g/t unterer Cutoff-Wert über maximal 3 m

Bohrung_ID	von (m)	bis (m)	Breite (m)	Au g/t	Sb %.	AuEq g/t
SDDSC033	106.8	226.0	119.2	3.2	0.4	3.9

Tabelle 3: Alle in dieser Meldung gemeldeten Einzelergebnisse von SDDSC038/39 >0,1g/t AuEq.

Bohrung_ID	von (m)	bis (m)	Breite (m)	Au g/t	Sb%
SDDSC039	64.6	65.0	0.4	0.1	0.0
SDDSC039	65.0	66.0	1.0	0.1	0.0
SDDSC039	67.0	68.4	1.4	0.2	0.0
SDDSC039	72.6	73.4	0.8	0.4	0.0
SDDSC039	73.4	73.6	0.2	0.5	0.2
SDDSC039	73.6	74.2	0.6	0.1	0.0

SDDSC039	74.2	75.0	0.8	0.1	0.0
SDDSC039	78.0	78.9	0.9	0.1	0.0
SDDSC039	78.9	79.3	0.4	1.4	3.8
SDDSC039	79.3	80.0	0.7	0.9	0.5
SDDSC039	80.0	81.0	1.0	0.1	0.0
SDDSC039	82.0	83.0	1.0	0.3	0.0
SDDSC039	83.0	84.0	1.0	0.2	0.0
SDDSC039	86.6	87.4	0.8	0.1	0.0
SDDSC039	87.4	88.3	0.9	0.2	0.0
SDDSC039	88.3	89.0	0.7	0.2	0.0
SDDSC039	89.0	90.0	1.0	0.2	0.0
SDDSC039	90.0	91.0	1.0	0.1	0.0
SDDSC039	91.0	91.7	0.7	0.1	0.0
SDDSC039	91.7	92.7	1.0	0.1	0.0
SDDSC039	101.4	101.8	0.4	0.6	0.0
SDDSC039	119.2	120.0	0.8	0.1	0.0
SDDSC039	120.0	121.0	1.0	0.1	0.0
SDDSC039	135.5	136.3	0.8	0.2	0.0
SDDSC039	136.3	137.1	0.8	0.2	0.0
SDDSC039	137.1	137.6	0.5	0.3	0.0
SDDSC039	138.7	139.7	1.0	0.2	0.0
SDDSC039	145.7	146.0	0.3	0.0	0.1
SDDSC039	157.0	157.9	0.9	0.2	0.0
SDDSC039	157.9	158.9	0.9	0.1	0.0
SDDSC039	166.0	166.8	0.8	0.3	0.0
SDDSC039	166.8	167.2	0.4	0.2	0.0
SDDSC039	169.6	171.0	1.4	0.4	0.0
SDDSC039	171.0	172.0	1.0	0.5	0.0
SDDSC039	172.0	173.0	1.0	0.1	0.0
SDDSC039	173.0	174.0	1.0	2.3	1.0
SDDSC039	174.0	174.4	0.4	0.1	0.0
SDDSC039	174.4	174.7	0.3	1.1	0.0
SDDSC039	174.7	175.1	0.4	0.8	0.0
SDDSC039	175.1	176.0	0.9	1.9	0.2
SDDSC039	176.0	177.0	1.0	0.3	0.0
SDDSC039	177.0	177.7	0.7	0.1	0.0
SDDSC039	177.7	178.0	0.3	0.3	0.0
SDDSC039	178.0	179.0	1.0	0.4	0.0
SDDSC039	180.0	180.8	0.8	0.1	0.0
SDDSC039	180.8	181.0	0.3	2.3	0.6
SDDSC039	181.0	181.8	0.8	0.8	0.0
SDDSC039	181.8	183.0	1.3	2.6	0.1
SDDSC039	183.0	184.0	1.0	3.5	0.0
SDDSC039	184.0	185.0	1.0	0.6	0.0

SDDSC039	186.0	187.0	1.0	1.4	0.0
SDDSC039	194.0	194.8	0.8	0.9	0.1
SDDSC039	194.8	195.1	0.3	2.2	3.0
SDDSC039	195.1	196.0	0.9	0.5	0.0
SDDSC039	196.0	197.0	1.0	0.3	0.0
SDDSC039	197.0	197.6	0.6	1.1	0.6
SDDSC039	197.6	198.0	0.4	21.2	3.5
SDDSC039	198.0	198.6	0.6	18.7	1.7
SDDSC039	198.6	199.3	0.8	1.2	0.1
SDDSC039	199.3	200.0	0.7	14.8	5.7
SDDSC039	200.0	200.8	0.8	15.0	4.1
SDDSC039	200.8	201.1	0.3	3.0	0.1
SDDSC039	201.1	202.0	0.9	2.3	0.1
SDDSC039	202.0	202.7	0.7	84.0	13.8
SDDSC039	202.7	203.4	0.7	2.7	0.2
SDDSC039	203.4	203.9	0.4	42.9	25.1
SDDSC039	203.9	204.6	0.8	2.0	0.2
SDDSC039	204.6	205.6	1.0	0.7	0.0
SDDSC039	205.6	206.0	0.4	0.9	0.0
SDDSC039	206.0	207.0	1.0	0.4	0.0
SDDSC039	207.0	208.0	1.0	0.1	0.0
SDDSC039	211.4	212.0	0.6	0.1	0.0
SDDSC039	212.0	212.4	0.4	2.6	0.2
SDDSC039	212.4	213.0	0.6	0.2	0.0
SDDSC039	223.9	224.4	0.5	0.1	0.0
SDDSC039	278.1	279.0	0.9	0.1	0.0
SDDSC039	296.0	296.8	0.8	0.1	2.9
SDDSC039	299.0	299.6	0.6	0.1	0.1
SDDSC038	16.0	17.0	1.0	0.2	0.0
SDDSC038	17.0	18.0	1.0	0.7	0.0
SDDSC038	24.0	25.0	1.0	1.7	0.0
SDDSC038	25.0	25.6	0.6	0.8	0.0
SDDSC038	36.0	37.0	1.0	0.2	0.0
SDDSC038	51.8	52.3	0.5	0.8	0.1
SDDSC038	52.3	52.8	0.5	1.6	0.8
SDDSC038	52.8	53.9	1.1	2.1	0.1
SDDSC038	55.0	56.0	1.0	0.1	0.0
SDDSC038	82.0	83.0	1.0	0.1	0.0
SDDSC038	92.0	92.9	0.9	0.4	0.0
SDDSC038	92.9	93.7	0.8	0.7	0.0
SDDSC038	93.7	94.7	1.0	0.4	0.0
SDDSC038	94.7	95.7	1.0	0.2	0.0
SDDSC038	95.7	96.3	0.6	0.8	0.0
SDDSC038	96.3	97.0	0.7	3.0	0.0

SDDSC038	97.0	98.0	1.0	3.9	0.4
SDDSC038	98.0	98.5	0.5	0.9	0.1
SDDSC038	98.5	99.3	0.8	0.3	13.3
SDDSC038	99.3	100.0	0.7	0.0	0.1
SDDSC038	101.0	101.7	0.7	0.2	0.0
SDDSC038	101.7	102.3	0.6	0.1	7.7
SDDSC038	102.3	103.0	0.7	0.0	3.5
SDDSC038	104.0	105.0	1.0	0.9	0.1
SDDSC038	105.0	106.0	1.0	1.1	0.4
SDDSC038	106.0	107.0	1.0	1.6	0.8
SDDSC038	107.0	107.8	0.8	0.5	0.7
SDDSC038	107.8	108.7	0.9	1.7	0.3
SDDSC038	108.7	109.6	0.9	1.4	0.0
SDDSC038	109.6	110.6	1.0	0.1	0.0
SDDSC038	110.6	111.6	1.0	0.1	0.0
SDDSC038	113.6	113.9	0.3	0.1	0.0
SDDSC038	113.9	114.8	0.9	0.5	0.0
SDDSC038	114.8	115.7	0.9	0.7	0.0
SDDSC038	115.7	116.7	1.0	0.2	0.0
SDDSC038	116.7	117.4	0.7	0.9	0.0
SDDSC038	117.4	118.0	0.6	0.1	0.0
SDDSC038	118.0	118.7	0.7	0.1	0.0
SDDSC038	120.7	122.0	1.3	0.6	0.0
SDDSC038	122.0	123.0	1.0	0.1	0.0
SDDSC038	123.0	124.0	1.0	0.3	0.0
SDDSC038	126.0	127.0	1.0	0.3	0.0
SDDSC038	130.0	131.0	1.0	2.3	0.0
SDDSC038	141.0	142.0	1.0	0.3	0.0
SDDSC038	142.0	142.4	0.4	0.1	0.0
SDDSC038	142.4	142.7	0.3	3.6	15.5
SDDSC038	142.7	143.0	0.3	0.6	0.1
SDDSC038	143.9	144.7	0.8	0.2	0.0
SDDSC038	144.7	145.3	0.6	0.3	0.0
SDDSC038	145.3	146.0	0.7	0.1	0.0
SDDSC038	147.0	148.0	1.0	0.4	0.1
SDDSC038	148.0	148.3	0.3	11.4	4.0
SDDSC038	148.3	148.8	0.5	0.2	0.6
SDDSC038	148.8	149.6	0.8	0.1	0.7
SDDSC038	149.6	150.1	0.5	18.5	0.4
SDDSC038	150.1	150.6	0.5	16.7	7.5
SDDSC038	150.6	151.1	0.5	24.6	3.3
SDDSC038	151.1	151.5	0.4	5.6	1.2
SDDSC038	151.5	151.9	0.4	2.2	1.2
SDDSC038	151.9	152.3	0.4	4.7	1.5

SDDSC038	152.3	152.8	0.5	2.4	0.2
SDDSC038	152.8	153.6	0.8	0.2	0.0
SDDSC038	154.3	155.0	0.7	0.2	0.0
SDDSC038	155.0	155.8	0.8	0.2	0.0
SDDSC038	155.8	156.3	0.5	0.1	0.0
SDDSC038	170.9	171.6	0.7	0.1	0.0
SDDSC038	171.6	172.5	0.9	1.0	0.0
SDDSC038	172.9	173.3	0.4	0.2	0.0
SDDSC038	195.8	196.2	0.4	19.6	0.7
SDDSC038	196.2	197.2	1.0	9.6	0.0
SDDSC038	197.2	198.0	0.8	0.1	0.0
SDDSC038	209.2	210.2	1.0	0.0	0.2
SDDSC038	212.1	212.7	0.6	2.0	0.2
SDDSC038	214.5	214.9	0.4	0.2	0.0
SDDSC038	214.9	215.8	0.9	0.2	0.0
SDDSC038	215.8	216.5	0.7	1.1	0.0
SDDSC038	216.5	216.8	0.3	0.6	0.4
SDDSC038	216.8	217.8	1.0	0.4	0.0
SDDSC038	217.8	218.4	0.6	1.7	3.0
SDDSC038	219.0	220.2	1.2	0.3	0.0
SDDSC038	221.0	221.6	0.6	0.7	0.0
SDDSC038	221.6	222.6	1.0	0.4	0.3
SDDSC038	223.0	224.0	1.0	0.2	0.0
SDDSC038	224.0	224.3	0.3	0.3	0.0
SDDSC038	224.3	224.6	0.3	0.1	0.0
SDDSC038	224.6	225.1	0.5	2.4	0.7
SDDSC038	226.5	227.1	0.6	0.4	0.0
SDDSC038	227.1	227.9	0.8	1.5	0.0
SDDSC038	228.4	228.6	0.2	2.6	0.0
SDDSC038	228.6	228.9	0.3	1.7	0.0
SDDSC038	229.7	230.0	0.3	0.8	0.0
SDDSC038	232.0	233.0	1.0	0.2	0.0
SDDSC038	233.0	234.0	1.0	0.2	0.0
SDDSC038	234.0	235.0	1.0	0.9	0.3
SDDSC038	235.0	235.5	0.5	7.7	2.7
SDDSC038	235.5	236.0	0.5	7.4	2.3
SDDSC038	236.0	236.3	0.3	1.1	0.2
SDDSC038	236.3	236.9	0.6	2.9	3.0
SDDSC038	236.9	238.0	1.1	1.0	0.9
SDDSC038	238.0	238.2	0.2	8.2	1.2
SDDSC038	238.2	239.1	0.9	1.3	0.0
SDDSC038	239.1	240.0	0.9	0.7	0.0
SDDSC038	240.0	240.6	0.6	0.2	0.0
SDDSC038	240.6	240.9	0.3	3.0	1.8

SDDSC038	240.9	242.0	1.1	0.8	0.2
SDDSC038	242.0	242.3	0.3	1.8	0.9
SDDSC038	242.3	242.9	0.6	0.6	0.0
SDDSC038	242.9	243.5	0.6	0.4	0.0
SDDSC038	243.5	244.0	0.5	0.1	0.0
SDDSC038	244.0	244.9	0.9	0.2	0.0
SDDSC038	287.0	288.0	1.0	0.3	0.0
SDDSC038	294.7	295.1	0.4	0.3	0.0
SDDSC038	305.5	306.3	0.8	0.0	1.0
SDDSC038	306.3	306.9	0.6	0.9	17.4
SDDSC038	306.9	307.8	0.9	0.1	0.5
SDDSC038	307.8	308.7	0.9	0.2	0.0
SDDSC038	323.0	323.7	0.7	0.2	0.0
SDDSC038	323.7	323.9	0.2	0.1	0.0
SDDSC038	323.9	324.8	0.9	0.2	0.0
SDDSC038	324.8	325.6	0.8	0.1	0.0
SDDSC038	379.0	380.0	1.0	0.2	0.0
SDDSC038	380.0	381.0	1.0	0.7	0.1
SDDSC038	381.0	382.0	1.0	0.7	0.0
SDDSC038	382.0	383.0	1.0	0.3	0.0